

C.S.H.y

CH3SH

B9-1482-IV

1938

Eckes

Brunzkus M.

C.R. Acad. Sci. 1938 p 838-40

BP-5435-III; 8671

1950

H<sub>2</sub>S, CH<sub>3</sub>S, SiH<sub>4</sub>, H<sub>2</sub>Se, H<sub>2</sub>Te, H<sub>2</sub>P, HF (1), CH<sub>3</sub>SH, (CH<sub>3</sub>)<sub>2</sub>  
S(V<sub>2</sub>)

Price W.G., Roogen J.P., Walsh A.D.

Proceedings (London), 1950, 201A, 606-9

Far-ultraviolet absorption spectra of the  
hydrides and deuterides of sulfur, selenium,  
and tellurium and of the methyl derivatives  
of hydrogen sulfide.

Ch.A., 1954, 446a

10



CSH<sub>4</sub>

trans p.z.

1566

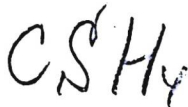
1950



Thompson H.W., Miller C.H.

Trans. Faraday Soc. 1950, 46,  
22-27

Vibration-rotation bands in the ...



CA., 1950, 44, 5214f

10

1952

$(\text{CH}_3)_2\text{O}$ ,  $(\text{CH}_3)_2\text{S}$ ,  $(\text{CH}_3)_2\text{Se}$ , 4318

$\text{CH}_3\text{OH}$ ,  $\text{CH}_3\text{OD}$ ,  $\text{CH}_3\text{SH}$  (earlier met.)

Siebert H.

Z.anorg.u.allgem.Chem. 1952, 271,

65-75

The force constants for ...

$\text{CSH}_4$

J

1562

CH3SH ( $\chi_{ij}$ ,  $L$ ,  $\gamma_0$  - барьер вибр. (разумеется))

1955

Kilb R. W..

J. Chem. Phys., 1955, 23, N9, 1736-1737 (авн.)

Internal barrier height of methyl mercaptan.

РХХиМ 1956, 31709



?

10

1564

$\text{CH}_3\text{SH}$  (2 f, 1/0 ·~~Суперлигир. лягуш.~~) 1955  
Solimene N., Dailey B.P.

J.Chem.Phys. 1955, 23, N 1,  
124-129 ( )  
Structure and barrier height of  
...

PX., 1955, 48299

$\text{CSH}_y$

10

CH<sub>3</sub>SH

T. Kojima, T. Nishikawa

1957

J. Phys. Soc. Japan 12, 680-6, 1957.

Наглядивши барбер в  
недавней работе структуре  
мога перенесена в нее  
и в. Структура

Wagstaff - 444 cm<sup>-1</sup>

ca 51

160.92. Минералы структура

stavus  $\gamma = 1 \leftarrow 0$  u  $K = 0 \leftarrow 0$  gas. jazuruchy  
hydrokob.

Hacogeno  $S-H = 1.34 \pm 0.01$

$$C-S = 1.810 \pm 0.005$$

$$C-H = 1.09 \pm 0.01$$

$$\angle CSII = 96^\circ 30' \pm 1^\circ$$

$$\angle HCH = 109^\circ 45' \pm 30'$$

the ocb u  $CS = 2^\circ 0' \pm 30'$ .

CH<sub>3</sub>SH

(A)

BQ-1489-II | 1962

Hobrock B. G.,  
Kiser R. W.

J. Phys. Chem., 1962,  
66, N9, 1648-52

CH<sub>3</sub>SH

Kirtman Bernard

1962

бранз.  
стекло

J. Chem. Phys., 1962, 37, n 11, 2516.

Взаимодействие солей и  
ионогеном в гетерогенном  
реакционном браунине. I. Вра-  
кующийся магнитный зонд.

мн. CH<sub>3</sub>SiH<sub>3</sub>



х. 1964. 3593

BP-14-5017



CH<sub>3</sub>SH (D)

1962

Palmer T.F., Lossing F.P.

J.Amer.Chem.Soc., 1962, 84, N 24,

4661-4664

Free radicals by mass spectrometry  
XXVIII. The HS, CH<sub>3</sub>S and phenyl-S  
radicals: ionization potentials and  
heats of formation

Px., 1963, 24б66

10 ~~10~~



CSH<sub>4</sub>

Борис Смирнов

10

48

7988

1963

$\text{H}_{2}\text{v}_2$  (J),  $\text{v}_2\text{H}_2\text{v}_1$  (J),  $\text{H}_2\text{v}_1^+$  ( $\Delta\text{H}_F^{\circ}$ );  
 $\text{H}_2\text{v}_2$  (n),  $\text{v}_2\text{H}_2^+$  ( $\Delta\text{H}_F^{\circ}$ ),  $\text{v}_2\text{H}_2$  (n)

Bobcock W.H., Kiser R.W.

J. Phys. Chem., 1963, 67, p. 3,  
643-652 (ати.)

Electron impact investigations of  
sulfur compounds. III. 3-methyl - 2-  
thiobutane, 4-thia - 1 - pentene, and  
3,4 - dithiane

$\text{CSH}_4$

1964, 7Б35

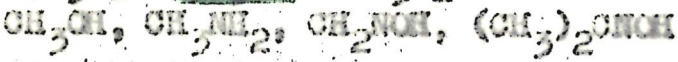
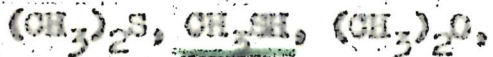
М.Ю

Есть оригинал.

2

1964

9670

(str.,  $\angle z \bar{z} y$ )

Hirshfeld F.L.

Israel J. Chem., 1964, 2, N. 2,  
87-90.

Structural ...

 $\text{CH}_4\text{S}$ 

J

$C_2 H_4 S$

BGP - M 866-IV

1965

Venkateswarlu K.  
et al.

Cul. n.

M.G.O.P.

Proc. Indian Acad.  
Sci. Sect. A 62 (3)

159-68

CH<sub>3</sub>SH

(BQ - 10004-IV)

1966

( $\epsilon_i$ ,  
crys.  
unparallel.)

Thompson, S. D., et al.  
J. Chem. Phys., 1966,  
45, N5, 1367-79.

CH<sub>3</sub>SH

1967

IR-calcgs

69030k The far infrared spectrum of methyl mercaptan from 15 cm.<sup>1</sup> to 45 cm.<sup>-1</sup> E. D. Palik, Donald G. Burkhard, and Robert L. Wallis (Ohio State Univ., Columbus). *J. Mol. Spectrosc.* 23(4), 425-38(1967)(Eng). The ir absorption spectrum of MeSH is measured at 17-44 cm.<sup>-1</sup> Theoretical analysis shows that the absorption spectrum in this range is assocd. with end-over-end rotation (parallel transitions) of the mol. as well as with internal rotation transitions (perpendicular transitions). By calcg. both of these contributions to the absorptions, the ir spectrum is identified. A value is deduced for the rotational const. and for the centrifugal stretching const. Internal rotation energy levels and wave functions for MeSH are tabulated.

RCKP

C.A. 1967 · 14 · 14

$\text{CH}_3\text{SM}$

1967

Simpson K. O., Beynon E.

V<sub>o</sub>

J. Phys. Chem., 71, N9, 2796.

Определение барьера, пре-  
пятствующего изме-  
рению из браунинга, из  
исходных первичных  
засад макромолеку-  
лосиа.

[см.  $\text{C}_6\text{H}_3(\text{CH}_3)_3$ ] III

CH<sub>3</sub>SH

XIV - 9834

1968

18 Д310. Колебательные спектры метантиола. May  
Ingo W., Pace E. L., The vibrational spectra of methanethiol. «Spectrochim. acta», 1968, A24, № 10, 1605—1615  
(ампл.)

Исследованы ИК-спектры CH<sub>3</sub>SH и CH<sub>3</sub>SD в газообразном, жидким и твердом состояниях с целью уточнения отнесения основных частот CH<sub>3</sub>SH. Также исследованы спектры комб. рас. жидких CH<sub>3</sub>SH и CH<sub>3</sub>SD. Проведен норм. координатный анализ на основе модифицированного валентного силового поля с учетом взаимодействия между веерным колебанием метильной группы и S—H деформационным колебанием. Вычислены с до-

го. 1969 . 89

статочной точностью не только наблюдение на опыте небольшое расщепление между двумя антисимметричными вал. кол. С—Н и двумя антисимметричными деф. кол. метильной группы, но и необычно большое расщепление, наблюдение в случае веерных колебаний  $v_6$  и  $v_{11}$  метильной группы в обоих изотопных образцах металлоида. Получено хорошее совпадение эксперим. да<sup>з</sup>ых и расчета. Библ. 19. { } Э. К.

XIV - 983J

1988

CH<sub>3</sub>SH

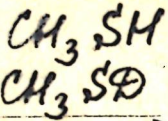
CH<sub>3</sub> S<sup>2</sup>

Yi

101256b Vibrational spectra of methanethiol. May, Ingo W.; Pace, E. L. (Case Western Reserve Univ., Cleveland, Ohio). *Spectrochim. Acta, Part A* 1968, 24(10), 1605-15 (Eng). The ir spectra of MeSH and MeSD were investigated in the gas, liq., and solid state with the purpose of resolving some inconsistencies in the fundamental frequency assignment of MeSH. A study of the Raman spectra of liq. MeSH and MeSD to complement the ir results was also carried out. A modified valence force field which included the diagonal symmetrized force consts. plus a single added repulsive interaction const. coupling the Me wagging with the S-H bending vibrations was used in a normal coordinate treatment. Excellent agreement between the observed and calcd. frequencies was obtained.

RCSQ

C.A. 1968 · 69 · 24



11 Б247. Колебательные спектры метилмеркаптана.  
 May. Ingo W., Pace E. L. The vibrational spectra of  
 methanethiol. «Spectrochim. acta», 1968, A24, № 10,  
 1605—1615 (англ.)

1968

Исследованы ИК-спектры  $\text{CH}_3\text{SH}$  и  $\text{CH}_3\text{SD}$  в газ.,  
 жидк. и тв. состоянии. Получены также спектры КР  
 этих соединений в жидк. состоянии, определена степень  
 деполяризации линий. Предложено отнесение основных  
 колебаний  $\text{CH}_3\text{SH}$  и  $\text{CH}_3\text{SD}$ . В спектрах  $\text{CH}_3\text{SH}$  по  
 сравнению с  $\text{CH}_3\text{SD}$  наблюдалась большая разность  
 частот симм. и асимм. веерн. кол. группы СН. Полага-  
 ют, что это связано с тем, что в  $\text{CH}_3\text{SD}$  больше раз-  
 ность частот между сильно взаимодействующими веерн.  
 кол. группы СН и деф. кол. связи S—D. Это находится  
 в соответствии с расчетом нормальных колебаний, для  
 к-рого было взято диагональное силовое поле с одним  
 только отрицат. недиагональным коэф., отражающим  
 вышеуказанное взаимодействие. Получено хорошее со-

X · 1969.

11

гласие вычисленных и наблюдаемых частот. В ИК-спектре тв. соединений наблюдалось расщепление полос, по-видимому, связанное с взаимодействием колебаний трансляционно неэквивалентных молекул, причем характер расщеплений несколько различается в спектрах, полученных до и после фазового перехода.

Я. М. Кимельфельд

CH3SH

1968

55117q Hindered internal rotation fine structure of the  $3-\mu$  vibration-rotation spectra of methyl mercaptan. Varnell, Gilbert L. (Texas Technol. Coll., Lubbock, Tex.). 1968, 105 pp. (Eng). Avail. Univ. Microfilms, Ann Arbor, Mich., Order No. 69-6451. From *Diss. Abstr. B* 1969, 29(10), 3871-2. SNDC.

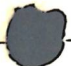
closed.

- copies.

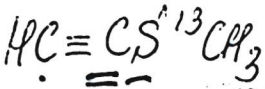
corrected

C.A. 1969. 71: 12

1969

CH<sub>3</sub>SHалкіл  
сульфідівCallear su. B. ugp.Nature, 1969, 221,  
(5184), 1238
$$[\text{Celi.}(\text{CH}_3)_2\text{S}]^{\text{III}}$$

1969



12 Д378. Молекулярная структура и центробежное искажение метилтиоэтана. Engelsén D. den. Molecular structure and centrifugal distortion in methylthioethane. «J. Molec. Spectrosc.», 1969, 30, № 3. 474—484 (англ.)

Исследованы микроволни. спектры молекул  $\text{HC} \equiv \text{CS}^{13}\text{CH}_3$  (I),  $\text{DC} \equiv \text{CSCH}_3$  и  $\text{HC} \equiv \text{CSCDH}_2$ . Определены вращательные ( $A, B$  и  $C$ ) и центробежные ( $\tau_{\alpha\beta\gamma\delta}$ ) постоянные основного колебательного состояния. Вычислены длины связей и углы I. Выполнен приближенный расчет  $\tau$ -постоянных I из частот колебаний. Вычисленные значения  $\tau$ -постоянных согласуются с экспериментальными.

М. Р. Алиев

М. И.

Ф. 1969, 129

1969

CH<sub>3</sub>SH

сероэтил  
к уротону

Haney M.A.,  
Franklin Y.L.

J. Phys. Chem.,

1969, 73, n 12, 4328

(C<sub>6</sub>H<sub>5</sub>CH<sub>3</sub>NH<sub>2</sub>)<sup>17</sup>

1969

CH<sub>3</sub>SH (крист.)

5 Д545. Колебательные спектры кристаллического метантиола. May Ing o W., Pace E. L. The vibrational spectrum of crystalline methanethiol. «Spectrochim. acta», 1969, A 25, № 12, 1903—1915 (англ.)

Получены ИК-спектры двух кристаллич. фаз CH<sub>3</sub>SH и CH<sub>3</sub>SD при 80° К. Рентгенографич. исследования закаленной высокотемпературной модификации, проведенные при т-ре жидкого азота, показали, что элементарная ячейка является орторомбической и содержит 8 молекул. Анализ фактор-группового расщепления показал, что исследованная молекула метантиола принадлежит к пространственному типу симметрии  $D_{2h}^1(Pmm)$  или  $D_{2h}^5(Pmma)$ . Библ. 8.

Резюме

ИК-спектр,

кристи.

шер-ра

09. 1970. 58

$\text{CH}_3\text{SK}$

isotropous

Sturm G. P.  
White J. H.

J. Chem. Phys., 50 (11),  
5035.

(Acc.  $\text{H}_2\text{S}$ ) III

1969

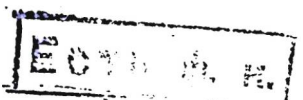
XIV -2293

1970

C<sub>2</sub>H<sub>4</sub>O; C<sub>2</sub>D<sub>4</sub>O; C<sub>2</sub>H<sub>4</sub>S'/Y; Cud. no. 6

Venkateswarlu K., Joseph P.A.,  
7. Molee. Street., 1970, b, n2,

145-157



$\text{CH}_3\text{SH}$

1970

urea.

sporans.

Callear A.B.,  
Dickson D.R.

Trans. Faraday Soc.,  
1970, 66, N8, 1984



[ $\text{Cu}(\text{CH}_3)_2\text{S}_2$ ]  $\overline{\text{III}}$

$\text{CH}_3\text{SH}$

1971

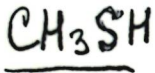
De Corpo J.J., Bafus A.A.  
et al

E,  $\bar{E}$       J. Chem. Phys., 1971, 54,  
1592 - 1597.

(in  $\text{CF}_3$ )  $\underline{\text{m}}$

XIV - 4155

1972



(Pi)

23 Б267. Инфракрасные низкотемпературные исследования. Часть 9. Метантиол и этантиол в матрицах.  
Bargnes A. J., Hallam H. E., Howells J. D. R.  
Infrared cryogenic studies. Part 9.— Methanethiol and ethanethiol in matrices. «J. Chem. Soc. Faraday Trans.»,  
1972, Part 2, 68, № 5, 737—743 (англ.)

Измерены спектры ИК-поглощения CH<sub>3</sub>SH (I) и C<sub>2</sub>H<sub>5</sub>SH (II), изолированных в Ar матрице при отношении M/A от 30 до 1000 и ИК-спектры II, изолированного в матрицах N<sub>2</sub> и CO. В спектрах I в области вал. кол. SH обнаружены полосы мономера 2603,2 см<sup>-1</sup>, димера 2576 см<sup>-1</sup> и мультимеров 2552 и 2550 см<sup>-1</sup>. Предположено, что мультимер I является циклич. тетramerом. Предложено частичное отнесение основных кол. I. В ИК-спектрах всех матриц с II обнаружены полосы мономера, димера и мультимера, причем многие полосы мономера имеют дублетную структуру. Этот факт связывается с наличием транс- и гош-изомеров II. Предложено отнесение основных кол. II.

Г. Кузьянц

X-1972-23

☒ (+)

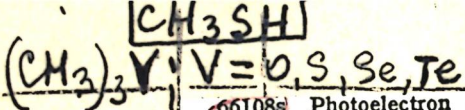
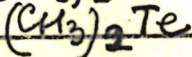
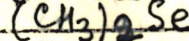
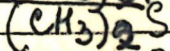
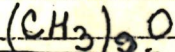
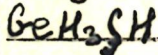
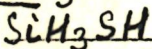
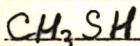


photo  
elec  
trip

66108s Photoelectron spectra of the methyl, silyl, and germyl derivatives of the Group VI elements. Cradock, S.; Whiteford, R. A. (Dep. Chem., Univ. Edinb., Edinburgh, Scot.). *J. Chem. Soc., Faraday Trans. 2* 1972, 68(2), 281-8 (Eng). Photoelectron spectra were obsd. for  $(\text{MH}_3)_2\text{Y}$  and  $\text{MH}_3\text{SH}$  ( $\text{M} = \text{C}, \text{Si}, \text{Ge}; \text{Y} = \text{O}, \text{S}, \text{Se}, \text{Te}$ ) and the bands assigned to the expected valence-shell energy levels. The results agree with ( $p \rightarrow d$ )  $\pi$ -bonding when  $\text{M} = \text{Si}$  and  $\text{Ge}$ .



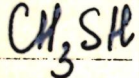
+ 6



C.A. 1972.

46. 12

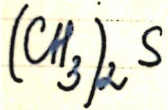
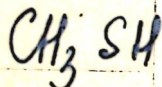
1972



133949g Photoelectron spectra of methyl mercaptan, dimethyl sulfide, thiophenol, and  $\alpha$ -toluenethiol. Bonding between sulfur and carbon. Frost, D. C.; Herring, F. G.; Katrib, A.; McDowell, C. A.; McLean, R. A. N. (Dep. Chem., Univ. British Columbia, Vancouver, B.C.). *J. Phys. Chem.* 1972, 76(7), 1030-4 (Eng). The 1st ionization potential in the photoelectron spectra of MeSH (9.42 eV) and Me<sub>2</sub>S (8.65 eV) as in H<sub>2</sub>S (10.47 eV) corresponds to ionization of a lone-pair electron, and, although there is a small  $\pi$  interaction in the C-S bond, the inductive effect is thought to cause the considerable shift to lower energy. In contrast to these mols. and PhCH<sub>2</sub>SH (1st I.P., 9.25 eV) the S lone pair in PhSH exhibits a considerable amt. of  $\pi$ -interaction with the adjacent benzene ring. The higher I.P.'s of MeSH and Me<sub>2</sub>S have been assigned, and it is shown that ionization occurs more readily from  $\sigma$  orbitals situated mainly in the C-S bond than the S-H bond.

C.A. 1972. 76.22

1972



Фотоэл.  
спектр

18 Б132. Фотоэлектронные спектры  $\text{CH}_3\text{SH}$ ,  $(\text{CH}_3)_2\text{S}$ ,  $\text{C}_6\text{H}_5\text{SH}$  и  $\text{C}_6\text{H}_5\text{CH}_2\text{SH}$ . Связь между серой и углеродом.  
Frost D. C., Herring F. G., Katrib A., McDowell C. A., McLean R. A. N. Photoelectron spectra of  $\text{CH}_3\text{SH}$ ,  $(\text{CH}_3)_2\text{S}$ ,  $\text{C}_6\text{H}_5\text{SH}$ , and  $\text{C}_6\text{H}_5\text{CH}_2\text{SH}$ ; the bonding between sulfur and carbon. «J. Phys. Chem.», 1972, 76, № 7, 1030—1034 (англ.)

Изучены фотоэлектронные спектры  $\text{H}_2\text{S}$  и его производных  $\text{RSH}$  и  $\text{R}_2\text{S}$ , где  $\text{R}=\text{Me}$ ,  $\text{Ph}$ ,  $\text{C}_6\text{H}_5\text{CH}_2$ , и измерены потенциалы ионизации (ПИ) этих соединений. 1-е ПИ рав-

X·1972·18

ны (эв):  $\text{H}_2\text{S}$  10,47;  $\text{MeSH}$  9,42;  $\text{Me}_2\text{S}$  8,65. Уменьшение ПИ по мере роста степени замещения соответствует ионизации электрона из неподеленной пары атома S, энергия связи к-рого снижается из-за индуктивного эффекта R, хотя величина  $\pi$ -взаимодействия в связи C—S мала. В отличие от этих молекул и  $\alpha$ -толуолтиола (1-й ПИ 9,25 эв), в тиофеноле неподеленная пара электронов атома S обнаруживает значительное  $\pi$ -взаимодействие с соседним бензольным кольцом. Проведено отнесение высших ПИ  $\text{MeSH}$  и  $\text{Me}_2\text{S}$  и показано, что ионизация происходит более легко с  $\sigma$ -орбитали связи C—S по сравнению со связью S—H.

В. Е. Скурат

1972

CH<sub>3</sub> SH

) 119325u Normal coordinate analysis of methanethiol. Gebhardt, O. (Inst. Teor. Kjemi, Norges Tek. Hoegsk., Trondheim, Norway). *Acta Chem. Scand.* 1972, 26(1), 155-8 (Eng). A normal coordinate anal. was performed for MeSH. Harmonic force fields, potential energy distribution, and calcd. mean amplitudes of vibration are reported.

Chem. H.

V<sub>i</sub>.

C.A. 1972. 76. 20

CH<sub>3</sub>SH

1972

16 Б72. Анализ нормальных координат метантиола.  
Gebhardt O. Normal coordinate analysis of methanethiol. «Acta chem. scand.», 1972, 26, № 1, 155—158  
(англ.)

Из частот колебаний молекул CH<sub>3</sub>SH и CH<sub>3</sub>SD и структурных параметров CH<sub>3</sub>SH вычислены силовые постоянные метантиола (симметрия C<sub>s</sub>). Вычислены также средние амплитуды колебаний (при т-рах 0° и 298°К) и распределение потенциальной энергии колебаний по внутренним колебательным координатам для обеих молекул. На основании результатов расчета распределения потенциальной энергии дано отнесение частот по форме колебаний.

М. Р. Алиев

авт. И.

X. 1972.

16

$\text{CH}_3\text{SH}$  Christoffersen, Ralph E. 1973  
Kb. Mex. Comput. Chem. Res. & Dev.,  
Proc. Int. Conf. 1973, 2,  
pacrem. 4/249 - 4/293 (Eng)  
(au HSSH; III)

CH<sub>3</sub>SH

1973

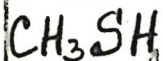
ep67004  
cnektjo

Katrib A., Bobis T., P., et al.  
"Chem. Phys. Lett."  
1973, 22, VI, 196-200.

(ccr. N<sub>2</sub>; III)

41023.1883

TC, Ch



40771

1974

02

у-6992

Gordon Mark S., Neubauer Loren. Second row molecular orbital calculations, Geometries, interplanar rotation barriers, and dipole moments of methylsilane, disilane, methyl mercaptan, and methylphosphine. "J. Amer. Chem. Soc.", 1974, 96, N 18, 5690-5693 (англ.)

0218 ник

189 191 210

ВИНИТИ

CH<sub>3</sub>SH

1974

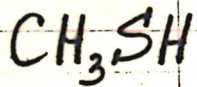
Shuta Shigeru et al.

Экспр.  
спектр.  
спектр.

"Сибирь биохеми, Mass  
Spectrosc" 1974, 22, N 4,  
233-238 (аав)

(ав CH<sub>3</sub>NH<sub>2</sub>; -)

1974.



(110)

Zondervan Bo., et al.,  
J. Chem. Phys., 1974,  
61, 113-121,

(crys.  $\text{C}_2\text{H}_6$ , III)

50131.47(23)  
Ch, Ph, (TC)

49587 02

1974

CH<sub>2</sub>SH

\*4-8029

Pecul Krzysztof, Janoschek Rudolf. Calculated vibrational spectra of weak hydrogen bonds. I. Methanethiol dimer. "Theor. chim. acta", 1974, 36, N 1, 25-36  
(англ.)

266 267 285

0293 ник

ВИНИТИ

Зак. 8750

$\text{CH}_3\text{SH}$

1974

Сложное соединение  $\text{CS}_2$ ,  $\text{H}_2\text{S}$  и  
микрол., возможные механизмы  
декомпозиции и гидролиза.

специалист  
изучен.

Toyoda Minoru, Ogawa Teiichiro,  
Bull. Chem. Soc. Jap. "1974, 47,  
N1, 95-98 (анн.)



(all  $\text{CS}_2$ ; III)  
(all  $\text{H}_2\text{S}$ ; III)

оф. 1974. 8

H-SCH<sub>3</sub>

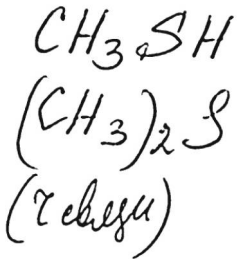
OTT. 4824

1975

Kerr J. A., et al.

Handbook Chem. Phys.,  
55 th Ed., 1974-75.





Saethre Leif J. 1975  
„Acta chem scand“  
1975, A29, N 5, 558-562  
(avui)  
(acc  $\text{S}_2\text{H}_2$ ; III)

50328.7208  
Ch, TC

CH<sub>3</sub>SH 92073

1975

4-8388

Sakai Hideki, Yamabe Tokio, Kato Hiroshi,  
Nagata Shinichi, Fukui Kenichi.

An MO theoretical investigations of  
the electronic spectra of divalent  
sulfur compounds.

"Bull.Chem.Soc.Jap.", 1975, 48, N 1, 33-36

(англ.)

0328 пик

312 312

ВИНИТИ

51002.9045

Ch. TC MGII

1975  
CH<sub>3</sub>SH<sup>96559</sup> (A.P.) 813-10032

Solka B.H., Harrison A.G.

Bimolecular reactions of trapped ions.

Part XI. Rates and equilibria in  
proton-transfer reactions of CH<sub>3</sub>SH<sup>+</sup><sub>2</sub>.

"Int. J. Mass Spectrom. and Ion

Phys.", 1975, 17, N 4, 379-394 (англ.)

425 427

4

0501 ник ВИНИТИ

50217.8735  
Ch, Ph, TC

40771 02

1975

CH<sub>3</sub>SH

\* 4-8079

Streitwieser Andrew Jr., Williams James  
E., Jr.

Ab initio SCF-MO calculations of thiome-  
thyl anion. Polarization in stabilizati-  
on of carbanions.

"J.Amer.Chem.Soc.", 1975, 97, N 1,  
191-192

(англ.)

8297

283 285 289

ВИНИТИ

61102.6641

Ph, Ch, TC

96201

1976

CH<sub>3</sub>SH

Х 3-15271

Collins H.P.S., Duke B.J.  
The role of d-orbitals in predicting  
accurate geometries using ab initio  
molecular orbital methods.

"Chem. Phys. Lett.", 1976, 42, N 2,  
364-366 (англ.)

(см. H<sub>2</sub>S; III) 0738 лек

736 707 .730

ВИНИТИ

60401.9107

Icb. №ееси. пачес  
96200

1976

Ph, B, Ch, TC

CH3SH

84-12249

Pappas\_Jan\_A. Theoretical studies  
 of thiols and disulfides. Conformations,  
 barriers and proton affinities. "Chem.  
 Phys.", 1976, 12, N 4, 397-405  
 [англ.]

0051788

564 565

5.83

ВИНИТИ

70117.6651

96615 (20)

1976

Ex-C, TG, DB,

Ch, MGU

 $H-CH_2-CH_2-$ 

4881

Schlegel H. Bernhard, Wolf Saul.  
Bernardi Fernando, Ab initio

computation of force constants. III.

A simple procedure for the evaluation of  
 X-H bond dissociation energies. "J. Mol.  
 Struct.", 1976, 35, N 1, 149-153  
 (англ.)

0793 ПМК

743 744 1.85

ВИНИТИ

CH<sub>3</sub>SH

(\* 18-18367)

1977

J. Amer. Chem. Soc.

(paeret) 1977. 99, - N6, 1685-9)

Dewar Michael J. S.

H3CH<sub>3</sub>

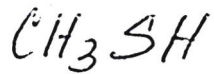
L00m 5380 / 1977

Gibson H. W.

(J)

Can. J. Chem. 1974,  
55, 2637-41

1974



Schlügel H.B. et al.

*J. Chem. Phys.* "1977  
67, N9, 4181 - 4193 (мм)

пакет  
вид. 100-ct

(если не обработан)

☒

ческ  
O:

вид.  $\text{CH}_3\text{OH}$ ,  $^{13}\text{C}$

Х.Н. 1978

молекул  $\text{CH}_3\text{NH}_2$ ,  $\text{CD}_3\text{ND}_2$ ,  $\text{CD}_3\text{NH}_2$ ,  $\text{CH}_3\text{ND}_2$ ,  $\text{CH}_3\text{OH}$ ,  $\text{CD}_3\text{OH}$ ,  $\text{CH}_3\text{OD}$ ,  $\text{CD}_3\text{OD}$ ,  $\text{CH}_2\text{DOH}$  (типа симметрии  $C_s$  и  $C_1$ ),  $\text{CHD}_2\text{OH}$  ( $C_s$  и  $C_1$ ),  $\text{CH}_3\text{SH}$ ,  $\text{CD}_3\text{SH}$ ,  $\text{CH}_3\text{SD}$ ,  $\text{CD}_3\text{SD}$ ,  $\text{CH}_2\text{DSH}$  ( $C_s$  и  $C_1$ ), и  $\text{CHD}_2\text{SH}$  ( $C_s$  и  $C_1$ ).

Максим. отклонения рассчитанных значений частот от эксперим. получены равными  $\sim 100 \text{ см}^{-1}$ . Показано, что учет ангармонич. силовых постоянных улучшает согласие с эксперим. частотами, в особенности с частотами вал. кол. Проведено сопоставление найденных силовых полей с эксперим. наборами силовых постоянных и обсуждены наблюдаемые при этом расхождения. Результаты расчета применены для изучения полос Больмана (явление понижения частоты вал. кол. связи С—Н, находящейся в анти-положении по отношению к неподеленной паре электронов) в соединениях I, II и III. Отмечено, что понижение частоты Больмана связано с ослаблением соотв-щих связей С—Н (уменьшение силовой постоянной и удлинение связи) и влиянием резонанса Ферми. Найдено, что оба эффекта имеют место в I и II, а в III преобладает первый фактор, что находится в согласии с ранее полученными результатами.

Ю. Н. Панченко

*CH<sub>3</sub>SH.*

1978

5 Д756. ИК-хемилюминесценция в реакциях атомов галогенов с H<sub>2</sub>S и CH<sub>3</sub>SH. Dill Bernd, Heydtmann Horst. Infrared chemiluminescent reactions of halogen atoms with hydrogen sulfide and methanethiol. «Chem. Phys.», 1978, 35, № 1-2, 161—176 (англ.).

И. К.

Список хранения

*[Signature]*

*[Signature]*

Ф. 1649.15

CH2SH

Commun 7755

1978

Nagy-Pelsobuki Z. et al

kb. aux.  
paerem

J. Chem. Soc. Faraday Trans.  
1978, Part 2, n<sup>o</sup> 2, 2204-2209.



(c.u.  $\notin$  CS; II)

1979

*CH<sub>3</sub>SH*

6 Б117. Фотоэлектронные спектры метансульфенилхлорида и метансульфенилбромида. Nagy - Felsöviki Ellak, Peel J. Vaggie. The photoelectron spectra of methanesulfenyl chloride and methanesulfenyl bromide. «Phosph. and Sulfur», 1979, 7, № 2, 157—160 (англ.)

*Фотоэл.  
спектр*

Измерены фотоэлектронные спектры с возбуждением Не-І молекул CH<sub>3</sub>SCl и CH<sub>3</sub>SBr, полученных при коминтре в газофазных р-циях галогенирования метилмеркаптана CH<sub>3</sub>SH. Интерпретация спектров проведена на основе неэмпирич. расчетов валентных MO в минимальном базисе OCT-ЗГФ с помощью разработанного авторами метода модельного потенциала для валентного приближения («J. Chem. Soc., Faraday Trans. II», 1978, 74, 2204). Расчетные результаты хорошо согласуются с данными полного неэмпирич. расчета CH<sub>3</sub>SCl и с экспериментом. Использовано также сопоставление со спектрами CH<sub>3</sub>SH, SCl<sub>2</sub>, S(CH<sub>3</sub>)<sub>2</sub>. В спектрах обеих

⊗

21.1980.№6

молекул наблюдается по 7 полос. Первый потенциал ионизации (ПИ) отнесен к МО симметрии  $a''$ , локализованной на атоме S с разрыхляющей примесью *пр-орбита*ли галогена. Шестой и 7-й ПИ соответствуют МО, локализованных на  $\text{CH}_3$ , а 5-й —  $\sigma$ -связи CS. Существенное отличие между спектрами наблюдается в области 2-го — 4-го ПИ. Очень узкий второй пик для  $\text{CH}_3\text{SBr}$  соответствует неподеленной электронной паре атома Br. Для  $\text{CH}_3\text{SCl}$  три пика имеют приблизительно одинаковую ширину. Сделан вывод, что *рл—рл*-взаимодействие для связи S—Cl больше, чем для S—Br.

М. Гофман

CH<sub>3</sub>SH. ammonia 7755 1978

Nagy-Felsotuki E.,  
etal.

publ.

Jil. elgyz,

J. Chem. Soc. Faraday  
Trans. II, 1978, N12,  
2204-09

CH<sub>3</sub>SH

1979

Matsushita T., et al.

ref. work.  
published.

Bull. Chem. Soc. Jap., 1979,  
52 (9), 2521-26.

(ccr. H<sub>2</sub>CS; III)

1980

# *CH<sub>3</sub>SH*

У 3 Д562. Микроволновый спектр метилмеркаптана:  
 переходы  $\alpha$ -типа R-ветви. Microwave spectrum of methyl mercaptan  $\alpha$ -type R-branch transitions. Kojima  
 Takeshi. «J. Phys. Soc. Jap.», 1980, 49, № 3, 1197—  
 1198 (англ.)

*И, н.*

И Исследован микроволн. спектр молекулы CH<sub>3</sub>SH. В диапазоне 25—76 Гц идентифицированы линии вращательных переходов с  $J \leq 4$  основного колебательного состояния и первого возбужденного состояния крутильного колебания. Определены значения вращательных и квартичных центробежных постоянных и барьера внутреннего вращения ( $V_3 = 444 \text{ см}^{-1}$ ). М. Р. Алиев

*Ф. 1981 N 3*

*CH<sub>3</sub>SH*

*1980*

4 Д422. Спектр метилмеркаптана в диапазоне миллиметровых волн. Millimetre wave spectrum of methyl mercaptan. Lees R. M., Ali Mohammadi M. «Can. J. Phys.», 1980, 58, № 11, 1640—1648 (англ.; рез. франц.)

В диапазоне 25—107 ГГц исследован микроволн. спектр молекулы  $\text{CH}_3^{32}\text{SH}$ . Идентифицированы линии вращательных переходов *K*-ветви с  $J \leq 4$  в первых четырех состояниях крутого колебания  $v_t$ ,  $\text{CH}_3$ -группы и *Q*-ветви с  $J \leq 40$  в первых двух состояниях, колебания  $v_t$ . Идентифицировано также туннельное *A*—*E*-расщепление линий. Определены значения вращательных и центробежных постоянных и параметров барьера внутреннего вращения метильной группы ( $V_3 = 445$ ,  $V_6 = 2.07 \text{ см}^{-1}$ )

М. Р. Алиев

*МРН.*

*Ф. 1981 № 4*

1980

*CH<sub>3</sub>SH*

8 Б270. Миллиметровый спектр метилмеркаптана.  
 Lees R. M., Ali Mohamadi M. Millimetre wave spectrum of methyl mercaptan. «Can. J. Phys.», 1980, 58, № 11, 1640—1648 (англ.)

Измерен в области частот 25—107 ГГц вращательный спектр метилмеркаптана,  $\text{CH}_3^{32}\text{SH}$ , в основном и первых двух возбужденных ~~крутильных~~ состояниях. Анализ спектра выполнен с учетом заторможенного внутренне-вращения, центробежного искажения и крутильно-колебательно-вращательного взаимодействия. Уточнены значения вращательных постоянных  $(B+C)/2 = 12666,169(64)$ ,  $(B-C)/2 = 276,317(20)$  МГц, постоянных центробежного искажения  $D_J = 0,0159(20)$ ,  $D_{Jk} = 0,1062(54)$  МГц, параметров барьера крутильных колебаний  $V_3 = 444,763(87)$  см<sup>-1</sup>,  $V_6 = -2,070(66)$  см<sup>-1</sup>, постоянных крутильно-колебательно-вращательного взаимодействия и главных моментов инерции. На основе полученных спектроскопич. данных идентифицированы частоты переходов  $P$ -,  $Q$ - и  $R$ -ветвей с  $\Delta k \neq 0$ , представляющих астрофиз. интерес. С. Н. Мурzin

*М, П.**X. 1981 N 8*

CH3SH.

ommunc 10561

1980

94: 22375u Millimeter wave spectrum of methyl mercaptan.  
Lees, R. M.; Mohammadi, M. Ali (Dep. Phys., Univ. New  
Brunswick, Fredericton, NB Can. E3B 5A3). *Can. J. Phys.*  
1980, 58(11), 1540-8 (Eng). An investigation of the rotational  
spectrum of  $\text{CH}_3^{32}\text{SH}$ , one of the most recent mols. to be  
detected in the interstellar medium, was carried out over the  
25-107 GHz region. The frequencies of  $a$ -type  $\Delta k = 0$  *R*-branch  
transitions were measured for the  $J = 1 \leftarrow 0$  up to  $J = 4 \leftarrow 3$   
multiplets for torsional states  $v_t = 0-3$ . In addn., many *P*-, *Q*-,  
and *R*-branch transitions with  $\Delta k \neq 0$  were identified in order  
to provide a catalog of lines for potential radio astronomical  
applications. Improved values of rotational and centrifugal  
distortion consts.,  $a$ -type torsion-vibration-rotation interaction  
consts., and torsional barrier parameters ( $V_3 = .444.76 \text{ cm}^{-1}$ ;  
effective  $V_6 = -2.07 \text{ cm}^{-1}$ ) were detd. from least-squares analyses  
of the spectra.

*M. F. Cheek*

C. A. 1981. 94N4

1980

CD<sub>3</sub>SH

CD<sub>3</sub>S'D (2)

94: 55176h The vibrational spectra of deuterated methanethiols: CD<sub>3</sub>SH and CD<sub>3</sub>SD. Saur, Odette; Travert, Josette; Lavallee, Jean Claude; Chabaneil, Martial (Lab. Spectrochim., Univ. Caen, 14032 Caen, Fr.). *C. R. Seances Acad. Sci., Ser. C* 1980, 291(9), 227-30 (Fr). The gas phase IR and liq. phase Raman spectra of CD<sub>3</sub>SH and CD<sub>3</sub>SD were investigated at 4000-200 cm<sup>-1</sup>. A strong coupling between the 3 A' modes: Me rocking, S-H (or S-D) bending and C-S stretching, was obsd. It leads to a large splitting for the A' and A'' Me rocking modes while the A' and A'' antisym. Me stretching and deformation modes are nearly degenerate. An assignment of the fundamental frequencies is proposed.

U.K. Chekip

C.A. 1981.94:18

H<sub>3</sub>C-SH

1980

Wiberg K.B.

pacrem J. Amer. Chem. Soc.,

J.J. MORTH.

1980, 102, n<sup>4</sup>, 1229-39

M

Cite H<sub>3</sub>C-H ;  $\text{III}$

MSCH<sub>3</sub>

октавек 128/15

1981

одзор,  
теориј.  
расчет.  
молекула.  
орбиталы,  
коампли.

Bohm H.C., Gleiter R.  
Theor. chim. acta, 1981,  
59 (2), 153 - 179.

1981

СН<sub>3</sub>SH

Спектр

6 Б1391. Хемилюминесцентная реакция озона с метилмеркаптаном. Glinski Robert J., Sedagaski John A., Dixon David A. The chemiluminescent reaction of ozone with methyl mercaptan. «J. Phys. Chem.», 1981, 85, № 17, 2440—2443 (англ.)

Методом оптической спектроскопии испускания в интервале длин волн 330—500 нм изучена хемилюминесцентная реакция O<sub>3</sub> с CH<sub>3</sub>SH (I) в газовой фазе при напуске O<sub>3</sub> в молекул. пучке при давл. 9·10<sup>-3</sup> мм в реационную камеру, содержащую I при давл. ≈3·10<sup>-3</sup> мм. Спектр хемилюминесценции (Хл) при этом представляет широкую бесструктурную полосу от 440 до 300 нм. При добавлении в реационную камеру He до давл. ≥5·10<sup>-2</sup> мм в спектре появляются серии резких полос, наложенных на широкую бесструктурную полосу. Идентифицирована серия полос, обусловленная переходом из состояния  $v' = (0, 0, 0)$ , SO<sub>2</sub>(<sup>3</sup>B<sub>1</sub>) в  $v'' = (n, m, 0)$  основного состояния <sup>1</sup>A<sub>1</sub>. При изменении давл. O<sub>3</sub> от 2·10<sup>-3</sup> до 4·10<sup>-2</sup> мм происходит уменьшение интенсивности флуоресценции (Фл) при 447 нм с достижением предельной постоянной величины, а ин-

Х. 1982, 19, N6.

тенсивность Фл при 385 и 330 нм при этом возрастает почти линейно, достигая максимума при давл.  $O_3$   $(5-10) \cdot 10^{-3}$  мм с последующим уменьшением. Таким же образом проходит через максимум зависимость интенсивности фосфоресценции (Фф) при 396 и 405 нм. Интенсивности Фл и Фф изменяются одинаково при изменении давл. I. С ростом давл.  $O_3$  полная интенсивность Хл при 375 нм возрастает с замедляющейся скоростью, а при 337 нм быстро достигает предельной постоянной величины. Образование возбужденных молекул  $SO_2^*$  объяснено процессами:  $I + O_3 \rightarrow H_3COO + HSO$ ,  $HSO + O_3 \rightarrow OH + SO + O_2$ ,  $SO + O_3 \rightarrow SO_2^* + O_2$ . Образование  $SO_2(^3B_1)$  происходит при интеркомбинац. конверсии из состояния  $A^1A_2$  в результате нескольких столкновений молекулы  $SO_2^*$  с атомами He. Изучена также р-ция  $O_3$  с  $H_2S$ . В хемилюминесцентном спектре этой р-ции обнаружены три слабые полосы при 562, 586 и 609 нм, обусловленные излучением частицы  $HSO^*$ . Установлено отношение сечений  $\sigma$  Хл, обусловленной  $SO_2$ :  $\sigma(H_2S) : \sigma(I) = 1 : 3$ .

Ю. И. Дорофеев

$\text{CH}_2\text{SH}_2$

Отмск 13380

1981

11 Б29. Теоретическое исследование гиперповерхностной  $\text{CSH}_4$  и  $\text{CPH}_5$ . Геометрии, таутомеризация и диссоциация сульфониевых и фосфониевых илидов. Mitchell David John, Wolfe Saul, Schlegel H. Bernhard. A theoretical study of the  $\text{CSH}_4$  and  $\text{CPH}_5$  hypersurfaces. Geometries, tautomerization, and dissociation of sulfonium and phosphonium ylides. «Can. J. Chem.», 1981, 59, № 23, 3280—3292 (англ.; рез. фр.)

Неэмпирическим методом ССП МО ЛКАО в различных базисах с варьированием всех независимых степеней свободы рассчитаны илиды  $\text{CH}_2\text{SH}_2$  и  $\text{CH}_2\text{PH}_3$ , их стабильные изомеры, продукты диссоциации и протонированные формы.

расчет изомеров  
структур, диссоциаций

(+) 18



Х. 1982, 19, 111.

$\text{CH}_2\text{SH}_2$  Onnuck 13380 1981

neopem  
pacrem



95: 209938t A theoretical study of the methylenesulfurane and methylenephosphorane hypersurfaces, geometries, tautomerization, and dissociation of sulfonium and phosphonium ylides. Mitchell, David John; Wolfe, Saul; Schlegel, H. Bernhard (Dep. Chem., Queen's Univ., Kingston, ON Can. K7L 3N6). *Can. J. Chem.* 1981, 59(23), 3280-92 (Eng). Calcns. were performed at 4 basis set levels (STO-3G, STO-3G<sup>\*</sup>, 4-31G, 4-31G<sup>\*</sup>) on the model ylides methylenesulfurane ( $\text{CH}_2\text{SH}_2$ ) and methylenephosphorane ( $\text{CH}_2\text{PH}_3$ ), their stable tautomers ( $\text{MeSH}$  and  $\text{MePH}_2$ ), their dissociation products ( $\text{SH}_2$ ,  $\text{PH}_3$  and  $\text{CH}_2$ ), and the protonated species  $\text{MeSH}_2^+$  and  $\text{MePH}_3^+$ . At each basis set level, all geometries were optimized fully. The conformational behavior of the ylides as a function of C-X bond-stretching, C-X torsion, and  $\text{CH}_2$  (or  $\text{SH}_2$ ) bending was examined. The exptl. properties (i.e., geometries, relative stabilities, proton affinities, rotation-inversion behavior) of sulfonium and phosphonium ylides are reproduced well by the model calculations, with the 4-31G<sup>\*</sup> basis set, which contains d-type functions on both C and S (or P). All other basis sets are deficient in different ways and for different reasons, which are discussed.

C.A. 1981, 95, n24

The  $d$ -type functions are essential for a proper description of the hypervalent species  $\text{CH}_2\text{SH}_2$  and  $\text{CH}_2\text{PH}_3$ , but not for the normal-valent species  $\text{SH}_2$ ,  $\text{PH}_3$ ,  $\text{MeSH}$ , and  $\text{MePH}_2$ . The conclusion concerning hypervalent species reverses earlier views. The role of the  $d$ -type functions is to conc. charge into the C-X region of the ylides, and thus to stabilize the system. Evidence for this effect was obtained from quant. perturbational (PMO) analyses of interactions assocd. with the C lone pair, as well as comparison of electron d. plots with and without the  $d$  AO's. The imposition of various geometrical constraints has major and previously unrecognized consequences.

С2Н4S

1982

2 Д249. Исследование водородной связи тиiran—  
HX (X=F, Cl) неэмпирическим методом MO ССП.  
Hydrogen bonding in thiirane ...HX (X=F, Cl): an ab initio SCF-MO study. Hinchliffe Alan. «Adv. Mol. Relax. and Interact. Process.», 1982, 24, № 1, 1—6  
(англ.)

Неэмпирическим методом ССП в обширном базисе сгруппированных гауссовых ф-ций рассчитано строение молекул  $C_2H_4S$  (I), HF, HCl и гетеродимеров I...HF (II) и I...HCl (III). Предполагалось, что образование димеров не приводит к деформации мономеров. Установлено, что II и III имеют неплоскую равновесную конфигурацию; ось H—F (H—Cl) образует с плоскостью CCS угол  $69,9^\circ$  ( $66,7^\circ$ ). Длина водородной связи S...H составляет  $2,537 \text{ \AA}$  в II и  $2,874 \text{ \AA}$  в III, энергия ее разрыва оценена в  $23,87$  и  $12,76 \text{ кДж/моль}$  соответственно. Анализ заселенности АО показал, что образование связи сопровождается значительной поля-

几何рия,  
структур  
и.л. (13)  
д. 1983, 18, № 2

HF, HCl,  $C_2H_4S$ , HF,

*C<sub>2</sub>H<sub>4</sub> + HCl*

ризацией мономеров и переносом отрицательного заряда от I к HF (HCl). Рассчитаны дипольные и квадрупольные моменты изученных молекул. Полученные значения дипольных моментов мономеров завышены по сравнению с экспериментальными, тем не менее предполагается, что их изменение при образовании гетеродимера оценено достаточно точно.

А. В. Зайцевский

(e T)

$\text{CH}_4-\text{C}\equiv\text{S}$

1982

Ha Tae-Kyu, Nguyen M.T.  
et al.

Изобр., J. Mol. Struct., 1982,  
с. 114.  
M. N. 90, N1-2, Suppl.: Theo-  
chem, 7, N1-2, 107-114.

(аэ.  $\text{H}_2-\text{C}\equiv\text{S}$ ; II)

CH3SH UMNLLC 14927 1982

Энергии  
ионизациии,  
относим.  
Итоги суб.  
(последни  
эксперимен  
там).

Niessen W., Cederbaum  
et al., L.S.,  
*J. Electron Spectrosc.  
and Relat. Phenom.*,  
1982, 28, 45-78.

$S^1H_2 CH_2$       Омск 18557      1982

Барбер  
вращений      Гибаш А.С., Чапкин О.Н.,  
 $\Delta E_B$ ,      и др. неопред. генерации,  
 $\Delta E_H$       1982, 27, №3      565-570.

*CH<sub>2</sub>DSH  
CHD<sub>2</sub>SH*

*1983*

**12 Б1221.** Микроволновые спектры CH<sub>2</sub>DSH и CHD<sub>2</sub>SH. The microwave spectra of CH<sub>2</sub>DSH and CHD<sub>2</sub>SH. Su C. F., Quade C. R. «J. Chem. Phys.», 1983, № 12, 5828—5834 (англ.)

На усовершенствованном МВ-спектрометре измерены в области частот 12,5—48,0 ГГц крутильно-вращательные спектры 2 изотопич. образцов меркаптана, CH<sub>2</sub>DSH (**I**) и CHD<sub>2</sub>SH (**II**), в основном колебательном состоянии. При отнесении МВ-переходов использованы метод двойного резонанса по трехуровневой схеме и эффект Штарка. Анализ спектров выполнен в приближении модели жесткого асимметрич. волчка с учетом внутреннего вращения группы SH по отношению к метильной группе. Использован эффективный крутильно-вращательный гамильтониан, в к-ром крутильно-вращательное взаимодействие учтено только для двух гош-уровней и крутильная энергия представлена через два параметра потенциальной энергии внутреннего вращения. На основе эмпирич. спектроскопич. коэф. для **I** и **II** соотв. определены параметры потенциальной энергии внутреннего вращения  $V_1 = -3,40(10)$  и  $4,45(10)$  см<sup>-1</sup>,  $V_3 =$

*и.н., №;  
x.1984, 19, N 12*

=456,3(5) и 424,5(5) см<sup>-1</sup>. Из полученных значений параметров вычислена разность энергий конформеров  $\Delta E$  для I и II соотв. —2,4 и 3,2 см<sup>-1</sup>. Расположение уровней конформеров в I и II такое же, как для метиламина. Для метилового спирта и ацетальдегида порядок уровней был найден обратным. С. Н. Мурзин



$\text{CH}_2\text{DSH}$

$\text{CHD}_2\text{SH}$

1983

100: 58959u The microwave spectra of methyl mercaptans ( $\text{CH}_2\text{DSH}$  and  $\text{CHD}_2\text{SH}$ ). Su, Chun Fu; Quade, C. Richard (Dep. Phys., Texas Tech Univ., Lubbock, TX 79409 USA). *J. Chem. Phys.* 1983, 79(12), 5828-34 (Eng). The microwave torsional-rotational spectra of  $\text{CH}_2\text{DSH}$  and  $\text{CHD}_2\text{SH}$  were measured and analyzed over the frequency range 12.5-48.0 MHz. The *a*-, *b*-, and *c*-dipole transitions were assigned for both species which makes it possible to det. the tunneling frequency between the 2 gauche torsional levels for both species. An internal rotation anal. gives the torsional potential energy coeffs.  $V_1 = -3.40 \pm 0.10 \text{ cm}^{-1}$ ,  $V_3 = 456.3 \pm 0.5 \text{ cm}^{-1}$  for  $\text{CH}_2\text{DSH}$  and  $V_1 = 4.45 \pm 0.10 \text{ cm}^{-1}$ ,  $V_3 = 424.5 \pm 0.5 \text{ cm}^{-1}$  for  $\text{CHD}_2\text{SH}$  with  $V_2$  constrained to zero.

Not checked,

$V_0;$

C.A.1984, 100, N8

*CH<sub>3</sub>SH*

*CH<sub>3</sub>SD и пр.*

*1984*

12 Б1188. Анализ частот и форм нормальных колебаний метантиола и его изотопических аналогов. Normal coordinate analysis of methanethiol and isotopic analogs. Byler D. M., Gerasimowicz W. V. «J. Mol. Struct.», 1984, 112, № 3—4, 207—219 (англ.)

Изучены ИК-спектры ( $4000\text{--}400\text{ см}^{-1}$ )  $\text{CH}_3\text{SH}$ ,  $\text{CH}_3\text{SD}$ ,  $\text{CD}_3\text{SH}$ ,  $\text{CD}_3\text{SD}$  и  $^{13}\text{CH}_3\text{SH}$  в газ. фазе. Проведен расчет частот и форм нормальных колебаний для 5 изотопозамещенных (симметрия  $C_s$ ) и вычислены силовые постоянные в координатах симметрии валентно-силового поля (всего 19 параметров). На основании расчета предсказаны частоты ненаблюдаемых торс. кол. В результате уточнения силовых постоянных средняя ошибка составляет менее  $5\text{ см}^{-1}$ . Расчет в целом подтвердил отнесение колебаний для 5 изотопозамещенных, сделанное на базе эксперимента, за исключением одного переотнесения: на основании расчета полоса  $643\text{ см}^{-1}$ .

*Л. С. Чел. логи;*

*X. 1984, 19, N 12*

в спектре  $\text{CH}_3\text{SH}$  отнесена к  $\delta(\text{CSH})$ , а  $688 \text{ см}^{-1}$  — к  $\nu(\text{CS})$ . Во всех изотопозамещенных деф. кол.  $\rho_{\parallel}(\text{CH}_3)$  и  $\delta(\text{CSH})$  сильно смешаны друг с другом. В  $\text{CD}_3\text{SH}$   $\nu(\text{CS})$  смешано с  $\delta(\text{CSH})$  и с  $\delta_s(\text{CD}_3)$ . Силовые постоянные  $\text{CH}_3\text{SH}$  вычислены также неэмпирич. методом МО. Структура силового поля, полученного этим методом, совпадает с силовым полем, найденным на базе колебательных спектров, хотя есть колич. различия между обоими силовыми полями: частоты вал. кол.  $\text{CH}_3$  и  $\text{SH}$  выше, а вал. кол.  $\text{CS}$ , вычисленные с неэмпирич. силовым полем — ниже экспериментальных.

Е. Р. Разумова

*CH<sub>3</sub>SH*

*1984*

7 Д59. Анализ нормальных координат метантиола и его изотопических аналогов. Normal coordinate analysis of methanethiol and isotopic analogs. Byler D. Michael, Gerasimowicz Walter V. «J. Mol. Struct.», 1984, 112, № 3—4, 207—209 (англ.)

Частоты 55 полос ИК-спектров метантиола ( $\text{CH}_3\text{SH}$ ) и его  $d_1$ -,  $d_3$ -,  $d_4$ - и  $^{13}\text{C}$ -замещенных аналогов в газовой фазе использованы для расчета 19 параметров валентного силового поля указанных молекул. Лучшая под-

*v<sub>i</sub>, см. лист.*

*оп. 1984, 18, N° 7*

гонка дает среднюю ошибку  $<5 \text{ см}^{-1}$  ( $\sim 0.4\%$ ) между рассчитанными и эксперим. частотами для пяти изотопомеров. Проведенные расчеты подтверждают принятые отнесения колебат. частот для указанных молекул. Сделано одно уточнение, а именно, полоса, наблюдалась при  $643 \text{ см}^{-1}$ , относится к  $\delta\text{CSH}$  молекулы  $\text{CD}_3\text{SH}$ , а  $\nu\text{CS}$  связано с поглощением при  $688 \text{ см}^{-1}$ . Проведено сопоставление между рассчитанным силовым полем и ранее полученными результатами для  $\text{CH}_3\text{S}$  и для селенового аналога  $\text{CH}_3\text{SeH}$ . Определены значения ряда валентных силовых постоянных в терминах внутренних координат для сравнения с известными данными для  $\text{CH}_3\text{OH}$ , некоторых алкантиолов и алкилсульфидов, а также с неэмпирич. силовым полем для  $\text{CH}_3\text{SH}$ .

Н. В. В.

$SHCH_3$

$SH_2CH_3^+$

1984

Magnusson Eric.

meop.  
pacrēū

J. Comput. Chem.  
1984, 5(6), 612-28.

(cu.  $PH_3$ ;  $\underline{III}$ )

$\text{CH}_2\text{SH}_2^+(z)$     Loc. 19097    1984

Maquier F., Stahl D.,  
et al.

J. Chem. Soc. Chem. Commun., 1984, N 8, 504-  
506.

$\text{CH}_3\text{SH}$

1984

Rauk Arvi, Collins Scott.

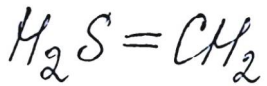
ab initio  
pacrēē

J. Mol. Spectrosc.

1984, 105 (2), 438-

-452

(c.c.s.  $\text{H}_2\text{S}$ ;  $\frac{1}{11}$ )



1984

Volatron F., Eisenstein O.

J. Amer. Chem. Soc., 1984,  
106, N<sup>o</sup>20, 6117 - 6119.

(see  $H_3P = CH_2$ ; III)

$\text{CH}_2\text{SH}_2$

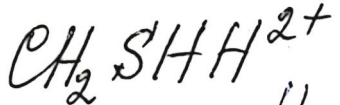
1984

Yates Brian F., Bouma  
Willem J., et al.

Иодиды,  
сульфиды,  
 $\text{J}_i$ ,  $\text{H}_0$ ;

J. Amer. Chem. Soc.,  
1984, 106, N 20, 5805-  
-5808.

(см.  $\text{CH}_2\text{PH}_3$ ; III)



1985

Roch Wolfram,  
Maqueir F., et al.

струкм.,  
но.еемп.  
(одзоп)  
Chimia, 1985, 39,  
N 12, 376-384.

(ав.  $\text{CH}_R^{2+}$ ; III)

$\text{CH}_3\text{SH}$

$\text{CH}_3\text{SH}_2^+$

[000 · 23335]

1986

глочепр.,  
структурн.,  
стабильн.  
конформац.  
теор. расчет.

Magnusson E.,

J. Amer. Chem. Soc.,  
1986, 108, N1, 11-16.

$\text{SHCH}_3(2)$  DM-25343

1986

Clagnusson E.,

M.R.;  
KB-Mex.  
pacrem.

Austral. J. Chem.,  
1986, 39, N.S., 735-  
-745.

*CH<sub>3</sub>SH*

*07.25/10*

*1986*

6 Б1323. Исследование полосы  $\nu_8$  молекулы CH<sub>3</sub>SH на диодном лазерном спектрометре. Diode laser spectrum of the  $\nu_8$  band of CH<sub>3</sub>SH. Nakagawa К и Upasaki, Kojima Takeshi, Hirota Eizi. «Bull. Chem. Soc. Jap.», 1986, 59, № 9, 2935—2937 (англ.)

На диодном лазерном спектрометре в обл. 703,3—718,2 см<sup>-1</sup> исследован ИК-спектр поглощения молекулы CH<sub>3</sub>SH при давл. 0,3÷2 Торр. Идентифицирована вращат. структура полосы  $\nu_8$  ( $J \leq 9$ ) по штарковскому расщеплению линий. Обнаружено туннельное A—E-расщепление линий. Анализ спектра выполнен с учетом заторможенного внутр. вращения CH<sub>3</sub>-группы по модели внутр. осей и определены значения 12 параметров этой модели.

Е. В. Алиева

*X. 1987, 19, N 6*

*CH<sub>3</sub>SH*

1986

8 Л145. Спектр метилмеркаптана в миллиметровом диапазоне. The millimeter-wave spectrum of methyl mercaptan. Sastry K. V. L. N. Herbst Eric, Booker Randy A., De Lucia Frank C. J. Mol. Spectrosc.», 1986, 116, № 1, 120—135 (англ.)

В диапазоне 100—300 ГГц исследован МВ-спектр молекулы CH<sub>3</sub>SH. Идентифицированы линии около 400 торсионно-вращательных переходов с  $J \leq 10$  и  $v \leq 2$ . Анализ спектра выполнен по модели внутренних осей. При анализе использованы также литературные данные по частотам 200 линий в диапазоне 14÷107 ГГц. Определены значения вращательных постоянных, постоянных квартичного центробежного искажения и параметров барьера внутреннего вращения метильной группы ( $V_3 = -443,03$ ,  $V_6 = -1,64 \text{ см}^{-1}$ ). Из этих параметров вычислены частоты более 1900 переходов, включая переходы в длинноволн. ИК-диапазоне, которые могут быть использованы для поиска метилмеркаптана в межзвездной среде.

М. Р. Алиев

ф. 1986, 18, № 8

*CH<sub>3</sub>SH*

1986

19 Б1363. Миллиметровый спектр метилмеркаптана.  
 The millimeter-wave spectrum of methyl mercaptan.  
 Sastry K. V. L. N., Herbst E., Booker R. A., De Lucia F. C. «J. Mol. Spectrosc.», 1986, 116, № 1, 120—135  
 (англ.)

На оригинальном автоматизированном широкодиапазонном радиоспектрометре в обл. частот 100—300 ГГц с точностью 50 кГц измерен вращат. спектр газ. метилмеркаптана,  $\text{CH}_3\text{SH}$ . Идентифицировано  $\sim 400$  линий с вращат.  $J \leq 10$  и торсионным  $v \leq 2$  квантовыми числами. Анализ вращательно-торсионного спектра вместе с данными др. авторов для  $\sim 200$  линий выполнен методом внутр. осей. Определены вращат. постоянные (МГц):  $A = 102755,3022$  (3989),  $B = 12946,77758$  (8007),  $C = 12386,19043$  (9100), торсионные постоянные, постоянные центробежного искажения и вращательно-торсионного взаимодействия. Вычислены частоты 1900 линий с точностью 1—10 МГц, представляющие интерес для радиоастрономии.

С. Н. Мурзин

X. 1986, 19, N 19

$\text{CH}_3\text{SH}$

1987

Nakagawa Kuniaki,  
Tsunekawa Shozo, et al.

lit. n.

J. Mol. Spectrosc., 1987,  
126, N2, 329-340.

(cet.  $\text{CH}_3\text{OH}$ ; ii)

$\text{CH}_3\text{SH}$ ,  
 $\text{CH}_3\text{CH}_2\text{SH}$ ,  
 $(\text{CH}_3)_2\text{CHSH}$

1987

Rodriguez, C.F.;  
Hopkinson, A.C.

Teor. pacr.  
энергет.  
стад.

THEOCHEM 1987, 37(1-2),

55-68.

(см.  $\text{CH}_3\text{NH}_2$ ; III)

CH<sub>3</sub>SH

1987

† 2 Л446. Изучение фотовозбуждения и флуоресценции фотофрагментов метанэтиола в ВУФ-области. Photoexcitation and photofragment fluorescence studies of methanethiol in vacuum ultraviolet. Tokue I., Hiraya A., Shobatake K. «Chem. Phys.», 1987, 116, № 3, 449—456 (англ.)

С использованием синхротронного источника в области длин волн 130—200 нм получены спектральные зависимости сечения поглощения метанэтиола CH<sub>3</sub>SH и спектры возбуждения его люминесценции. На основании анализа структуры спектров поглощения идентифицированы 3 ридберговских серии в области 130—180 нм. Обнаружена флуоресценция с порогом возбуждения (175,2±2,0) нм, которая приписана переходу  $\tilde{A}^2\tilde{A}_1 - \tilde{X}^2E$  радикала CH<sub>3</sub>S, являющегося одним из продуктов фотодиссоциации метанэтиола. Библ. 28.

В. К. Р.

Ф. 1988, 18, № 2

$\text{CH}_3\text{SH}$  u

D-janusz 84.

DM 27477 1987

107-186261s The vibrational spectra of  $\text{CD}_3\text{SH}$  and  $\text{CD}_3\text{SD}$  in various phases and of  $\text{CH}_3\text{SH}$  and  $\text{CH}_3\text{SD}$  in the torsion vibration region of the two solid phases. Wolff, Hans; Szydlowski, Jerzy (Phys.-Chem. Inst., Univ. Heidelberg, D-6900 Heidelberg, Fed. Rep. Ger.). *J. Mol. Struct.* 1987, 160(3-4), 221-8 (Eng). The vibrational spectra of  $\text{CH}_3\text{SH}$ ,  $\text{CH}_3\text{SD}$ ,  $\text{CD}_3\text{SH}$  and  $\text{CD}_3\text{SD}$  were exaud. Measurements of liq.  $\text{CD}_3\text{SH}$  and  $\text{CD}_3\text{SD}$  correspond to a former detn. of an inverse vapor pressure isotope effect, even though associa. exists. Investigation of the 4 solid compds. in the low-frequency range permits identification of the torsion modes of the low-temp. phase as doublets between 200 and 400  $\text{cm}^{-1}$ . The splitting of these doublets by  $\sim 100$  and 60-70  $\text{cm}^{-1}$  is as large as for solid  $\text{MeNH}_2$  and  $\text{MeCH}_2$ , but differs from the alc. and cannot be explained exclusively by intermol. coupling. Like the splitting of the close-spaced doublets of the SH or SD stretching vibrations; it is caused partly by coupling and partly by the presence of different types of sites of the unit cell. Corresponding to the changed crystal structure and to the weaker H bonding, the torsion modes of the high-temp. phase appear as triplets or quartets at lower wave nos.

C.A. 1987, 107, N 20

(D)

$\text{CH}_3\text{S}^+$       lom. 30490      1988  
 $(\text{CH}_3\text{SH}^+)$       Jacobson, E.,

T<sub>i</sub>; D<sub>i</sub>;      J. Phys. and Chem. Ref.  
Data, 1988, 17, N<sub>2</sub>, 472.

*CH<sub>3</sub>SH*

1988

7. 16 Б1155. Теоретическое исследование электронных спектров метантиола. Theoretical study if the electronic spectra of methanethiol. Mouflih B., Lallieu C., Chaillet M. «New J. Chem.», 1988, 12, № 1, 65—69 (англ.; рез. фр.)

Неэмпирическим методом ССП МО ЛКАО с учетом взаимодействия конфигураций проведены расчеты Пт ионизации (ПИ) и энергий переходов в первые шесть низколежащих возбужденных состояниях молекулы CH<sub>3</sub>SH. При расчетах использовался базис гауссовых Ф-ций (4,31 G\*\*), дополненный 4s, 4p диффузными и 3d поляризац. орбителями. Значения первых 4-х ПИ, полученных в рамках приближения Купманса с учетом корреляц. и поляризац. эффектов, хорошо согласуются с эксперим. и лит. теорет. данными, рассчитанными с использованием расширенных базисов. Проведен анализ заселенностей диффузных орбиталей всех рассмотр-

*M.N.*

X. 1988, 19, N 16

ренных синглетных возбужденных состояний и сделан вывод, что последние имеют преимущественно ридбергов. характер. На основе полученных результатов предложено отнесение полос в спектре фотопоглощения  $\text{CH}_3\text{SH}$ . Сопоставление эксперим. и теорет. данных для молекул  $\text{CH}_3\text{SH}$  и  $\text{H}_2\text{S}$  показало, что в обоих случаях электронные спектры в рассмотренной обл. ридберговых переходов аналогичны и отличаются лишь параллельным сдвигом полос на 1 эВ.

О. А. Басченко

CH<sub>3</sub>SH

1989

/ 111: 204382w High-resolution far-infrared spectrum of meth-anethiol. Nakagawa, Kuniaki; Johns, J. W. C. (Fac. Sci., Josai Univ., Sakado, Japan 350-02). *J. Mol. Spectrosc.* 1989, 138(1), 102-7 (Eng). Far-IR (11-215 cm<sup>-1</sup>) spectra of MeSH were recorded with a high-resoln. FTIR spectrometer which has an app. function of ~0.0015 cm<sup>-1</sup>. Besides pure rotational transitions, torsion-rotation transitions involving  $\nu_{12}$  were obsd. at >130 cm<sup>-1</sup>, and most of the Q branches in this band were resolved. The obsd. transitions were fitted with an root-mean-square error of ~0.0003 cm<sup>-1</sup> using an effective Hamiltonian.

gashū  
JK creeper,  
1/12, N.N.

C.A. 1989, 111, N 22

СН<sub>3</sub>SH

1989

№ 9 Б1321. Далекий инфракрасный спектр высокого разрешения CH<sub>3</sub>SH. High-resolution far-infrared spectrum of CH<sub>3</sub>SH / Nakagawa K., Johns J. W. // J. Mol. Spectrosc.— 1989.— 138, № 1.— С. 102—107.— Англ.

На ИК-фурье-спектрометре в обл. частот 11,5—215 см<sup>-1</sup> с разрешением около 0,0015 см<sup>-1</sup> и точностью 0,0001 см<sup>-1</sup> измерен колебательно-вращат. спектр CH<sub>3</sub>SH. Идентифицировано 1019 переходов торсионной полосы  $\nu_{12}$  с квантовыми числами  $\nu_{12} < 1$ ,  $J < 12$ . Анализ ИК-спектра выполнен с использованием гамильтонiana с 29 параметрами. Начала полос  $\nu_{12} = 1 \leftarrow 0$  торсионной симметрии *A* и *E*, соотв., равны 214,6850 и 196,1334 см<sup>-1</sup>. Полученные значения параметров несколько отличаются от ранее определенных значений, что связано с использованием различных массивов частот и влиянием взаимодействия между  $\nu_8$  и  $\nu_{12}$  полосами. Модельный расчет интенсивностей ИК-переходов хорошо согласуется с эксперим. данными.

С. Н. Мурзин

X.1990, № 9

$\text{CH}_3\text{SH}$

[Om. 38143]

1991

$\text{LiH}_5\text{SH}$

$(\text{CH}_3)_2\text{S}$

$(\text{LiH}_5)_2\text{S}$

u gp.

Dezarnaud C., Tronc N.,

Chem. Phys. 1991,

156, N1, 129-140

shape resonance in low-energy

electron transmission and gulfes  
K-shell photoabsorption  
spectroscopies:  $\text{CH}_3\text{SH}$ ,  $\text{C}_2\text{H}_5\text{SH}$ ,  
 $(\text{CH}_3)_2\text{S}$ ,  $(\text{C}_2\text{H}_5)_2\text{S}$ ,  $\text{C}_6\text{H}_5\text{SH}$ ,  
 $\text{C}_6\text{H}_5\text{SCH}_3$ ,  $\text{CH}_3\text{SCN}$ ,  $\text{CH}_3\text{NC}$ ,  
 $\text{S}\text{Cl}_2$ .

CH<sub>3</sub>SH

1991

115: 123624g Vacuum ultraviolet photodissociation and photoionization studies of methanethiol and mercapto (CH<sub>3</sub>SH and SH). Nourbakhsh, S.; Norwood, K.; Yin, H. M.; Liao, C. L.; Ng, C. Y. (Ames Lab., Ames, IA 50011 USA). *J. Chem. Phys.* 1991, 95(2), 946-54 (Eng). The kinetic energy releases of the photodissocn. processes, CH<sub>3</sub>SH +  $\text{h}\nu$  (193 nm) → CH<sub>3</sub> + SH, CH<sub>3</sub>S + H, and CH<sub>2</sub>S + H<sub>2</sub>, were measured using the time-of-flight mass spectrometric method. These measurements allow the direct detn. of the dissocn.

energies for the CH<sub>3</sub>-SH and CH<sub>3</sub>S-H bonds at 0 K as  $72.4 \pm 1.5$  and  $90 \pm 2$  kcal/mol, resp. The further dissociation of SH according to the process SH +  $\text{h}\nu$  (193 nm) → S + H was also obsd. The appearance energy (AE) of S produced in the latter process is consistent with the formation of S(<sup>3</sup>P) + H. The photoelectron-photoion coincidence (PEPICO) spectra for CH<sub>3</sub>SH<sup>+</sup>, CH<sub>3</sub>S<sup>+</sup> (or CH<sub>2</sub>SH<sup>+</sup>), and CH<sub>2</sub>S<sup>+</sup> from CH<sub>3</sub>SH were measured in the wavelength range of 925-1460 Å. The PEPICO measurements make possible the construction of the breakdown diagram for the unimol. decompr. of internal-energy-selected CH<sub>3</sub>SH<sup>+</sup> in the range of 0-83 kcal/mol. The AE measured for CH<sub>2</sub>S<sup>+</sup> is consistent with the conclusion that the activation energy is negligible for 1,2-H<sub>2</sub> elimination from CH<sub>3</sub>SH<sup>+</sup>.

Do  
CH<sub>3</sub>SH<sup>+</sup> (Ac)

田 (H)

C.A. 1991, 115, n12

SH

$\text{CH}_3\text{SH}^-$

1992

$\text{CH}_3\text{SH}^+$  Chiu See-Wing; Li Wai-Kei,  
et al;

M.N. J. Chem. Phys. 1992,

97, N9, C. 8557 - 8568

(See.  $\text{CH}_2 \bullet \text{SH}; \text{II})$

*CH<sub>3</sub>SH*

*1992*

3 Б1088. Теоретическое исследование адиабатического и диабатического поведения оставно-возбужденных состояний CH<sub>3</sub>SH. A theoretical investigation of the adiabatic and diabatic behavior of the core-excited states of CH<sub>3</sub>SH /Sevin Alain, Dézarnaud-Dandine Christine, Tronc Michel //Chem. Phys. .—1992 .—165 , № 2—3 .—С. 245—255 .—Англ.

Неэмпирическим методом конфигурац. вз-вия в базисе 6-31ГФ, дополненном 5sp-, 6sp- и 7sp-AO S, изучено адиабатич. и диабатич. поведение двух низших оставно-возбужденных состояний CH<sub>3</sub>SH. Адиабатич. кривые потенц. энергии (КПЭ) обнаруживают сложное поведение, тогда как диабатич. КПЭ проявляют простые тенденции. Для всех типов элементарных движений одна из диабатич. КПЭ имеет доминирующий σ\*(S—C)-характер с валентно-ридберговским р-характером на S, а другая носит σ\*(S—H)- и валентно-ридберговский s-характер на S. Поведение диабатич. состояний легко интерпретируется с помощью корреляций диабатич. МО. В. Я. Беспалов

*ll.11.*

*X.1994, N3*

CH<sub>3</sub>SH

1992

117: 198802p A theoretical investigation of the adiabatic and diabatic behavior of the core-excited states of methanethiol (CH<sub>3</sub>SH). Sevin, Alain; Dezarnaud-Dandine, Christine; Tronc, Michel (Lab. Chim. Org. Theor., Univ. Pierre Marie Curie, 75231 Paris, Fr.). *Chem. Phys.* 1992, 165(2-3), 245-55 (Eng). The adiabatic and diabatic behavior of the first pair of core-excited states of CH<sub>3</sub>SH was studied. The potential energy curves (PECs) obtained for small geometry changes simulating various vibrational modes were calcd. by an SCF-CI procedure. Though adiabatic PECs display a complex behavior, the diabatic ones exhibit simple trends. For all types of elementary motion, one diabatic PEC always has dominant σ\* (S-C) character assocd. with p (valence and Rydberg) character on S, while the second one bears σ\* (S-H) and s (valence and Rydberg) characters on S. The relative variations of these components may be explained using a simple qual. model based on diabatic MO correlations. The diabatic state that is likely to yield a sizeable centrifugal barrier bears at the same time σ\* (S-C) character. The actual nature of the matrix elements used for obtaining diabatic states allows for establishing a parallel with the behavior of CH<sub>3</sub>SH.

(nomenu. knub)  
meop. paerem

C.A. 1992, 117, n 20

1992

CH<sub>3</sub>SH

11Д114. Теоретическое исследование адиабатического и диабатического поведения остаточно-возбужденных состояний CH<sub>3</sub>SH. A theoretical investigation of the adiabatic and diabatic behavior of the core-excited states of CH<sub>3</sub>SH / Sevin Alain, Dézarnaud-Dandine Christine, Tronc Michel // Chem. Phys.. — 1992. — 165, № 2—3. — С. 245—255. — Англ.

22.11.

The adiabatic and diabatic behavior of the first pair of core-excited states of CH<sub>3</sub>SH have been studied. The potential energy curves (PECs) obtained for small geometry changes simulating various vibrational modes have been calculated by an SCF-Cl procedure. Though adiabatic PECs display a complex behavior, the diabatic ones exhibit simple trends. For all types of elementary motion, one diabatic PEC always has a dominant  $\sigma^*$  (S—C) character associated with p (valence and Rydberg) character on S, while the second one bears

1993, N 11-12

1994

F: CH<sub>3</sub>SH

P: 3

17Б1106. Расчет поверхностей потенциальной энергии возбужденных состояний CH[3]SH неэмпирическим методом эффективного гамильтониана для валентной оболочки. Excited potential energy surfaces of CH[3]SH from the ab initio effective valence shell Hamiltonian method / Stevens Jonathan E., Freed Karl F., Arendt Michael F., Graham Richard L. // J. Chem. Phys. - 1994. - 101, 6. - C. 4832-4841. - Англ.

РНК 1997

CH<sub>3</sub>SH

(DM 38918)

1997

CH<sub>3</sub>SC<sub>2</sub>H<sub>5</sub>

Branko S. Gusic,

recommend; Internat. J. Quantum  
ab initio Chem., 1997, 62, N3,  
291-296.

*CH<sub>3</sub>SH*

1999

(NM CNEKMP)

130: 273441u The millimeter- and submillimeter-wave spectrum of methyl mercaptan ( $\text{CH}_3\text{SH}$ ). Bettens, Fiona L.; Sastry, K. V. L. N.; Herbst, Eric; Albert, Sieghard; Oesterling, Lee C.; De Lucia, Frank C. (Department of Chemistry, Australian National University, Canberra, 0200 Australia). *Astrophys. J.* 1999, 510(2, Pt. 1), 789-794 (Eng), University of Chicago Press. MeSH, a 3-fold internal rotor and the S analog of MeOH, was detected in the interstellar medium, although little is known about its chem. or about the phys. conditions most favorable for its synthesis. Until the present, the assigned and fitted rotational-torsional spectral lines of MeSH were mainly confined to transitions

C.A., 1999, 130, N20

involving low rotational quantum nos. Many new lines of the rotational spectrum of this species were measured through the rotational quantum no.  $J = 20$  using 2 spectrometers: the std. klystron-based system and a new fast scan sub-mm spectroscopy. The newly measured lines were combined with previous data at mainly lower frequencies to form a data set consisting of ~1000 lines that was fitted to nearly the accuracy of the expts. using the internal axis method previously applied to MeOH. The spectral consts. obtained from the fit have allowed prediction of the frequencies of many addnl. lines  $\leq 600$  GHz in frequency and  $J \leq 25$  in rotational quantum no.



$(CH_3)_2Si$

[Om. 41506]

2002

Imre Baro et al.,

ab initio  
pacem

J. Mol. Struct. (Theochem)

2002, 594, 179-184.